

「日本における超高速衝突実験の現状と将来展望」
2011 年12 月12-13 日, 神戸大学惑星科学研究センター

名古屋工業大学の二段式軽ガス銃 および これまでの研究

名古屋工業大学 機械工学科
西田政弘



国立大学法人
名古屋工業大学

2段式軽ガスガン(横置き型)



1996年 東北大学 高山先生から 名工大 田中皓一先生へ
(同型が九州工業大学 赤星先生へ)

1997年 西田が名工大へ異動

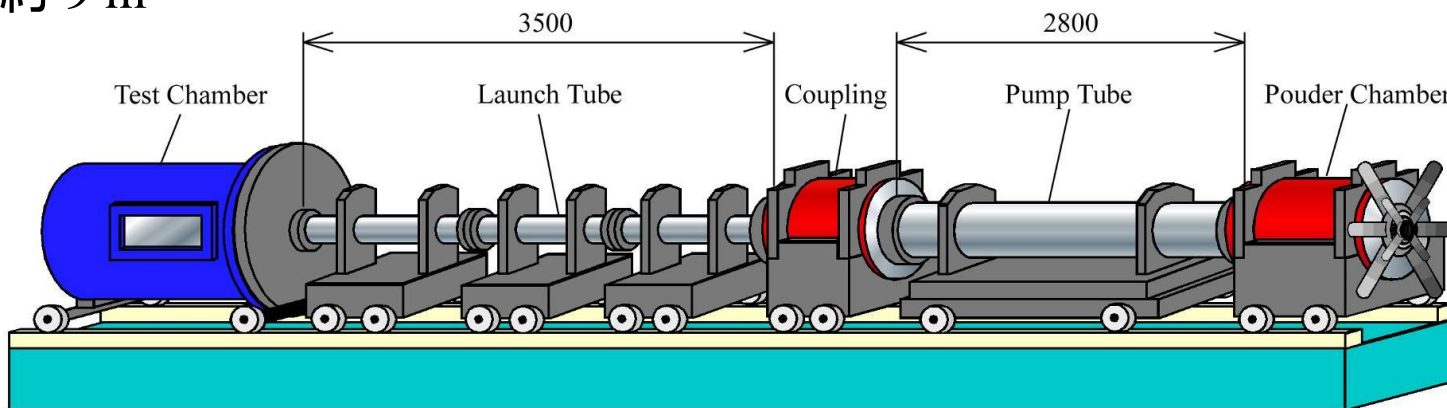
2009年 田中皓一先生のご退職 (現在:中部大)

現在 運転スタッフ: 常勤2名+学生2-3名

定常発射頻度: 最大で, 一日 3発

全長： 約 9 m

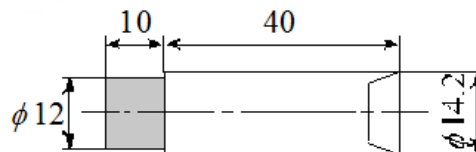
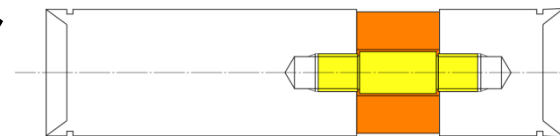
ヘリウム: He, 0.4 MPa



隔壁(ダイヤフラム)
ステンレス製

圧縮管の内径: 60.63 mm

ピストン



加速管の内径: 14 mm
(発射管)

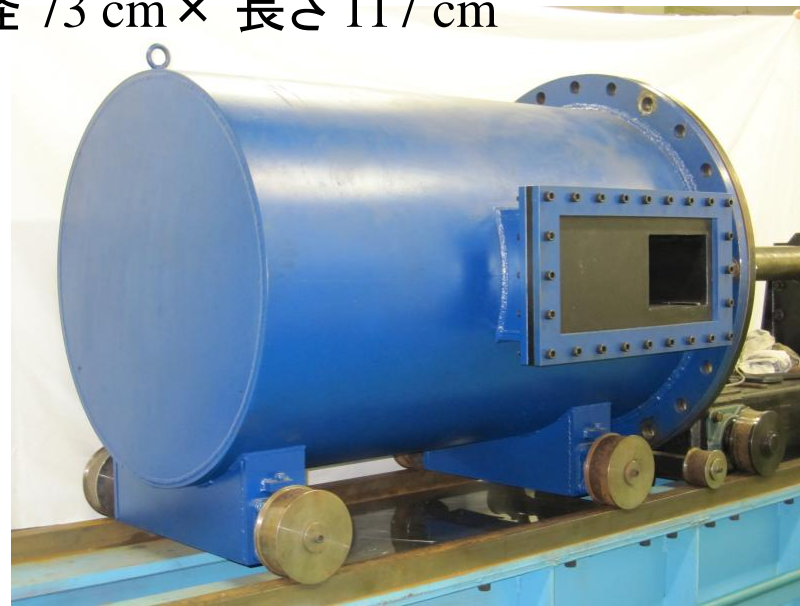
- ・ 試料 + $\phi 14$ mm のサボ
- ・ アルミ $\phi 14$ mm (2009~)
- ・ サボ分離を試行中
(飛翔体サイズの径小径化)

これまでの主な研究：
厚板のクレータ-形成



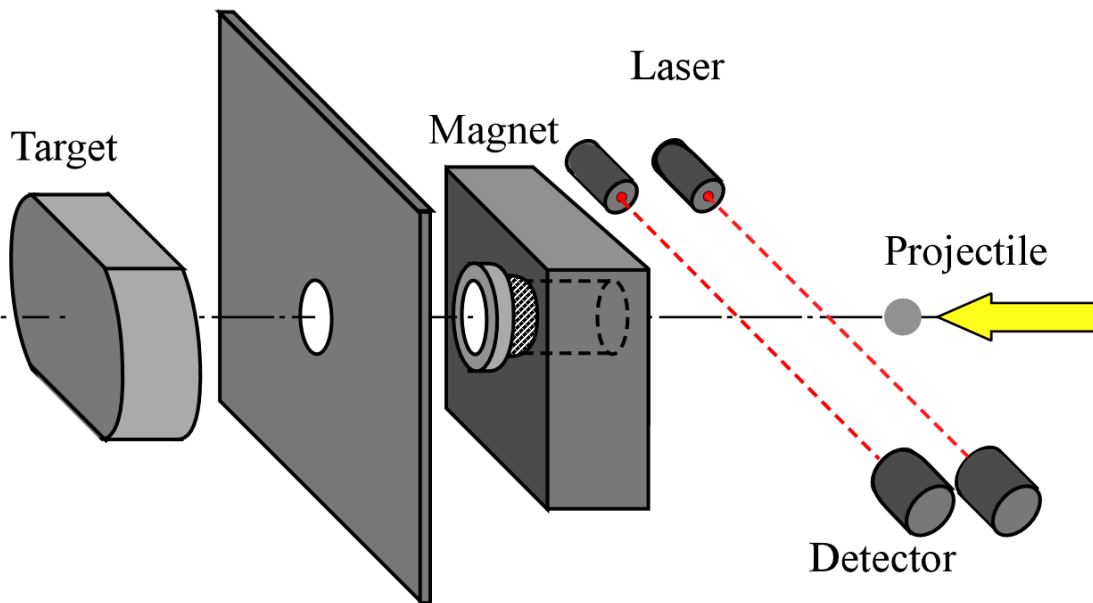
チェンバーの内側

チェンバー：
直径 73 cm × 長さ 117 cm



チェンバーの外観

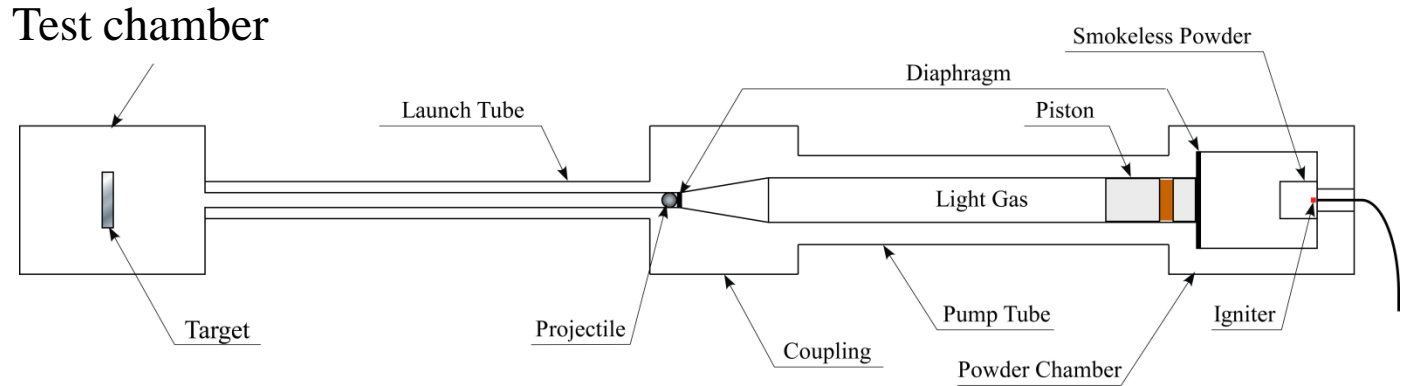
Witness plate



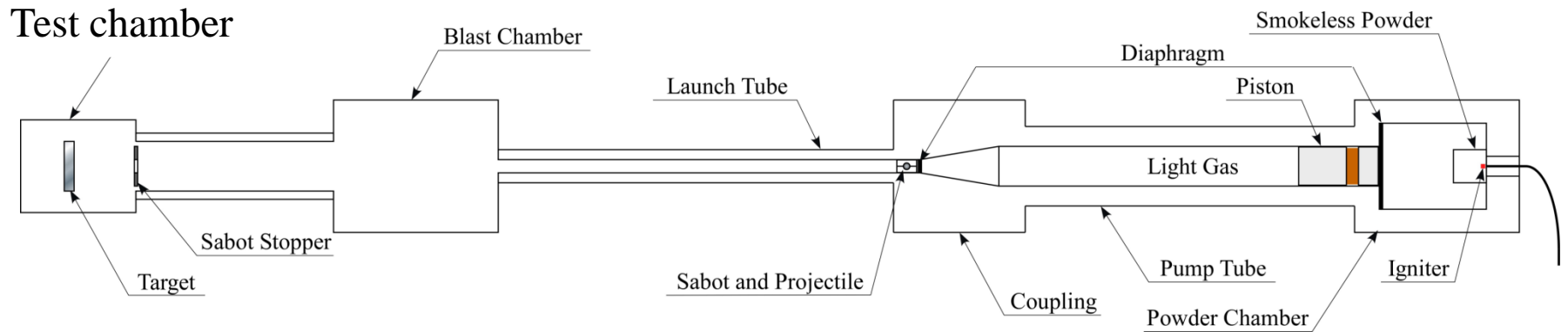
衝突速度: 0.8 ~ 4.0 km/s

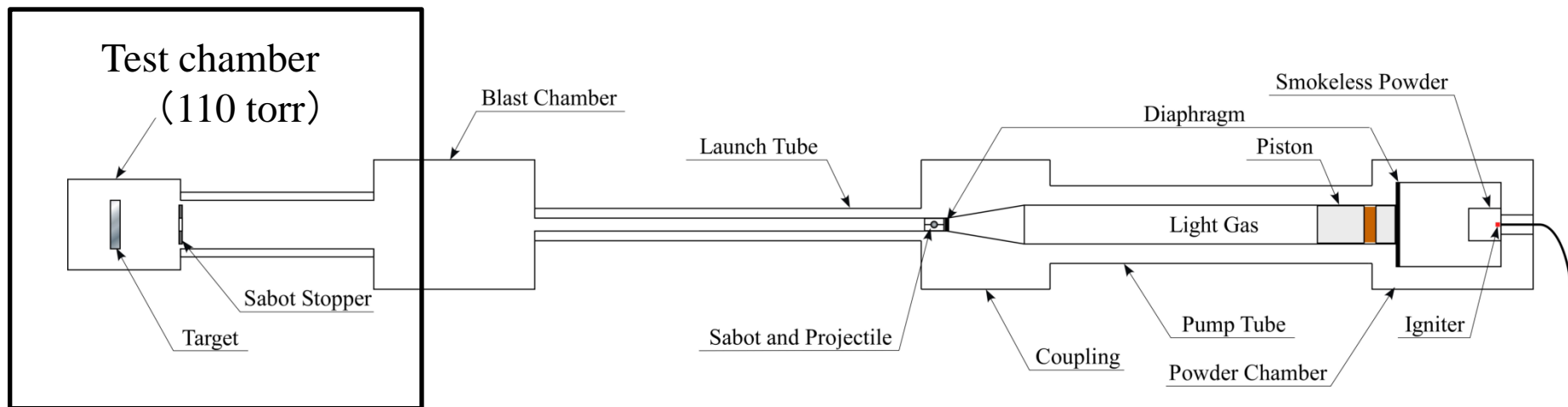
レーザー式
電磁誘導式
ピンコンタクト式

改良前



サボ分離のために改良





改良後のチェンバー(写真)

Test chamber

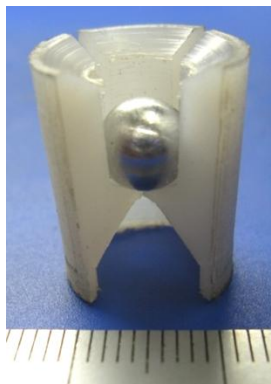


Blast chamber

サボ

スリット式

名古屋工業大学 JAXA

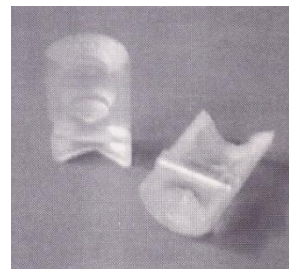


分割式

東北大学



九州工業大学



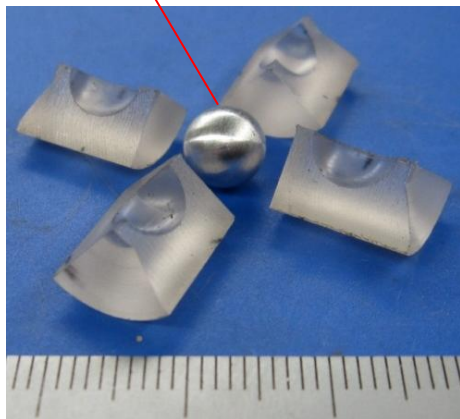
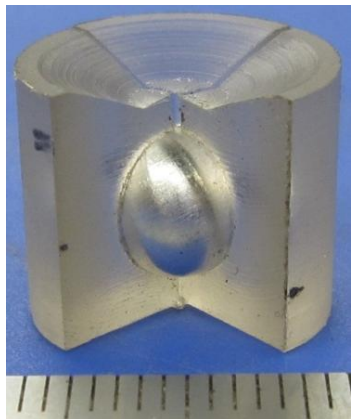
EMI

(Ernst Mach Institute)

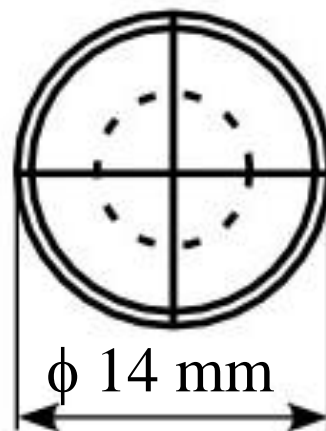


サボの改良(現在のサボ)

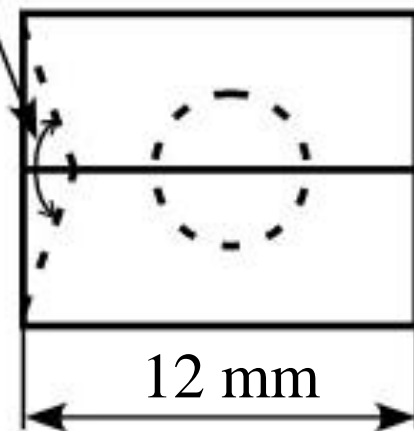
$\phi = 7 \text{ mm}$



140°



$\phi 14 \text{ mm}$



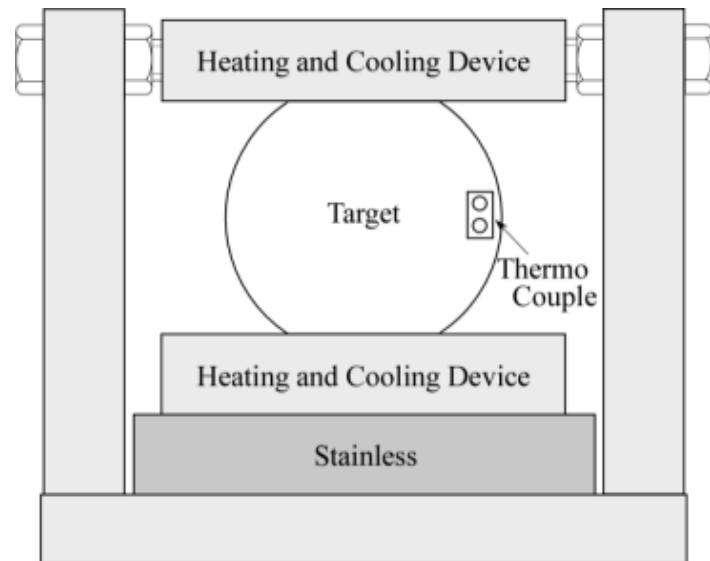
12 mm

・計測機器 : オシロスコープ2台
(岩通 WaveRunner DS-4264M と DS-4264ML)

回転鏡式高速度カメラ(株式会社 サンピコ TS-4D)

圧力センサー(Dynasen Model Ck2-50)

・標的(ターゲット)の**温度**
-150°C ~ +200°C



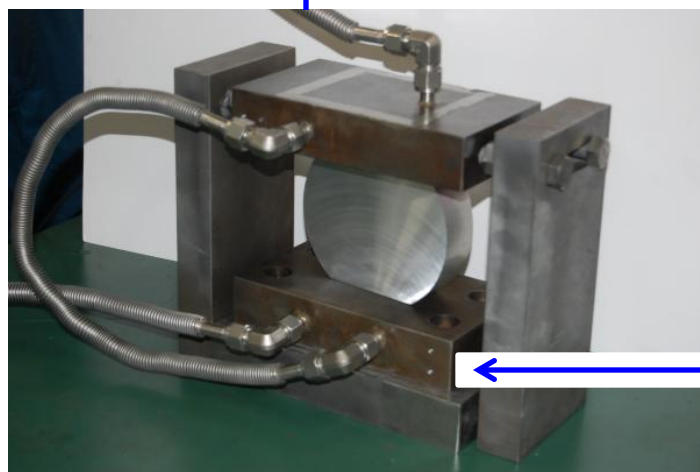
標的(ターゲット)温度の影響

加熱装置
(+200°C)



カートリッジヒーター
|
変圧器

冷却装置
(-150°C)



液体窒素

液体窒素



チャンバの外側

名工大でのガスガンを用いた研究成果

飛翔体 標的

1. K.Tanaka et al., IAC54, (2003).
(Science and Technology 109 (2004) pp. 319-334)

Steel → 低温
Steel

2. K.Tanaka et al., HVIS-2005, (2005).
(Int. J. Impact Eng. 33, (2006) pp. 788-798.)

Steel → 低温
Al

3. K.Tanaka et al., HVIS-2007, (2007).
(Int. J. Impact Eng. 35, (2008) pp. 1821-1826.)

Al → Al
NaCl

4. M. Nishida et al., J. Space Eng, 2-1, (2009) pp. 51-60.

Steel → 薄板 + Al

5. M. Nishida et al., HVIS-2010, (2010)

SiO₂ → Al

6. Nishida et al., Int. J. Impact Engng. (2012), Thermec 2011
ターゲット温度がクレータ形状および
エジェクタに与える影響

Al → 高温, 低温
Al

エジェクタに与える影響



Important factors

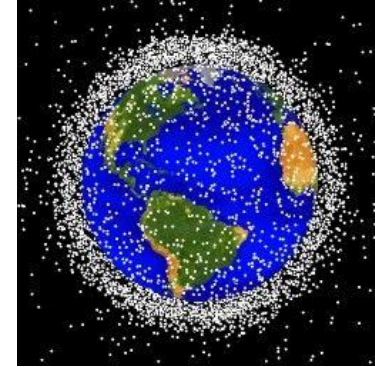
- **Temperature** (Nishida et al., Int. J. Impact Engng. 2012)
(Proc Thermec 2011)
- Impact velocity (Nishida et al., Proc. ICHSIP-29, 2011)
- Impact angle
(日本機械学会 M&M2011材料力学カンファレンス2011)
(第48回日本航空宇宙学会関西・中部支部合同秋期大会2011)
- Material properties of projectiles (Nishida et al., 6th ISEM 2011)
- **Material properties of targets**
(第54回宇宙科学技術連合講演会2010)
(高速度イメージングとフォトリクスに関する総合シンポジウム2011)

ターゲット**温度**がクレータおよび エジェクタに与える影響

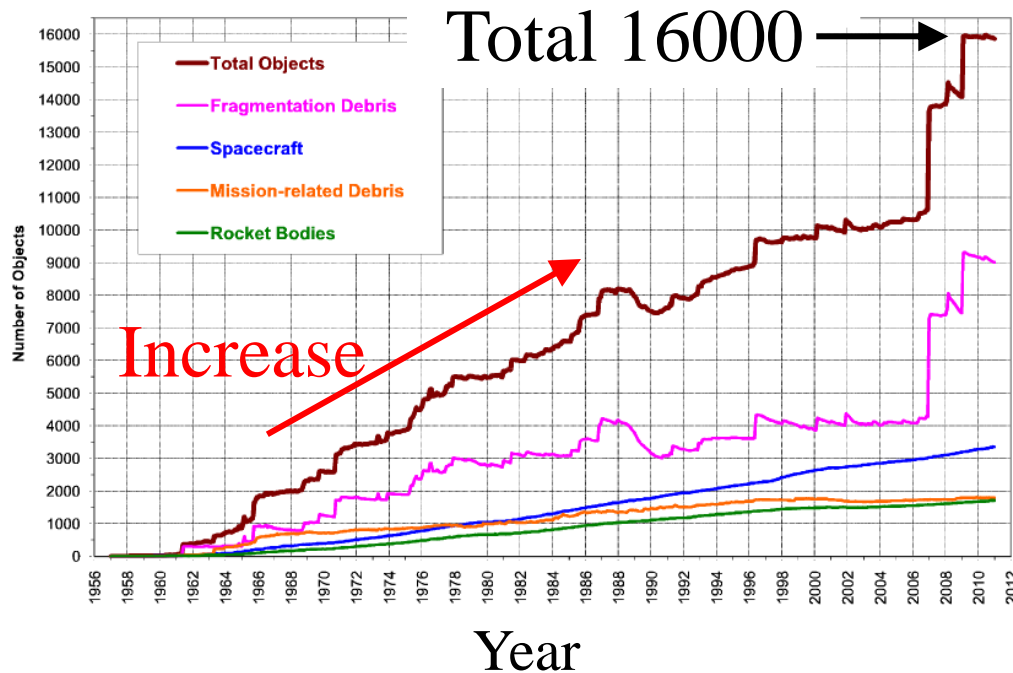
(Nishida et al., Int. J. Impact Engng. 2012, Proc Thermec 2011)

Background

Image of space debris



Number of cataloged objects

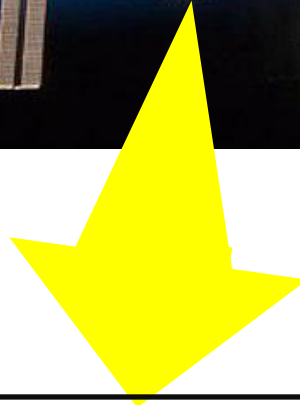
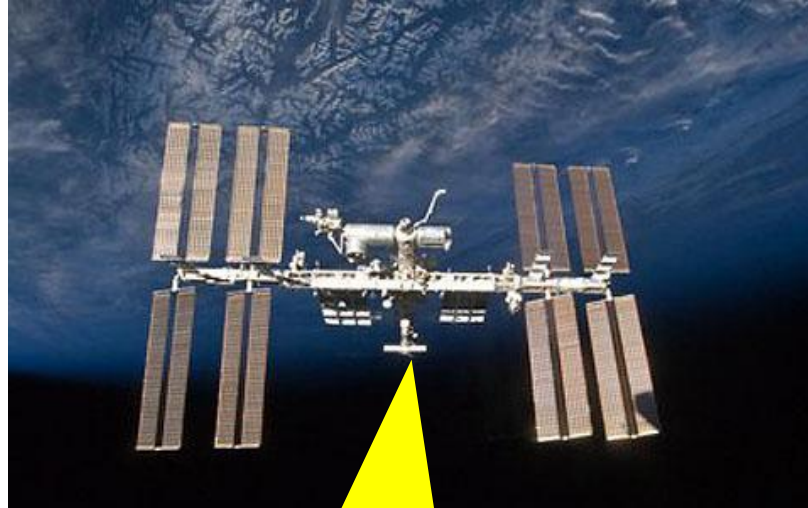


Low Earth orbit (LEO)

NASA Orbital Debris Program Office
http://orbitaldebris.jsc.nasa.gov/photogallery/bee_hives.html#leo

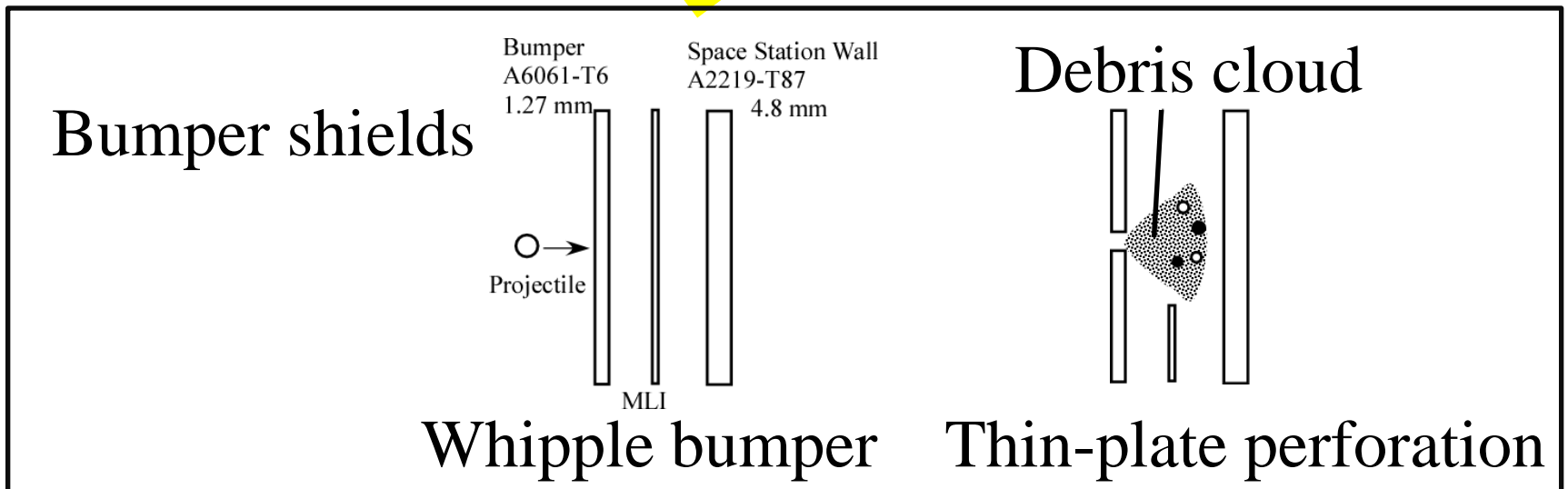
Space debris
over 100 mm = 11,000

International Space Station



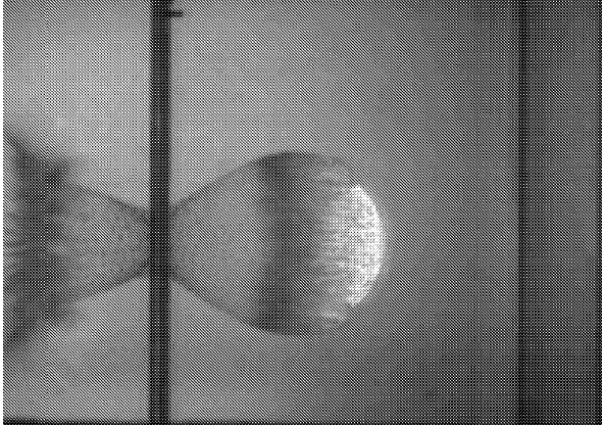
NASA

<http://spaceflight.nasa.gov/gallery/images/shuttle/sts-127/html/s127e011212.html>



Debris Cloud & Ejecta Study

6mmアルミ球→アルミ板1.2mm, 6.7km/s



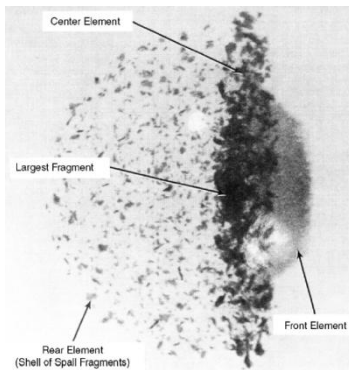
K. Thoma, et al.: Proc 3rd European Conf on Space Debris, 2001, p. 555-567.

7.9 mmアルミ球→CFRP[0°/45°]₆, 1.7km/s



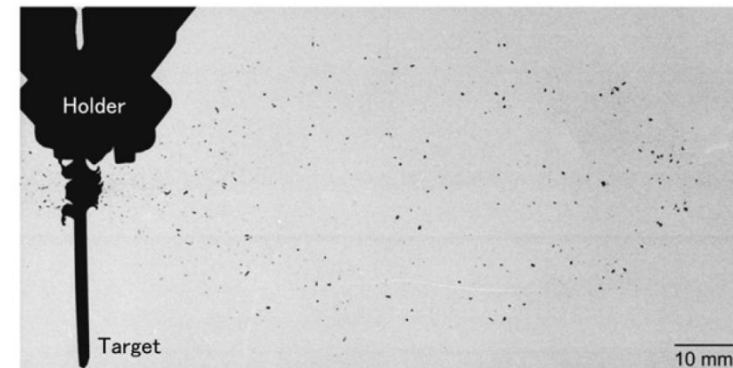
久保田他, 実験力学, 2010, p. 110-115.

12.7mmアルミ-球→アルミ板0.59mm,
6.26km/s



A.J. Piekutowski: Int. J. Impact Engineering, 1997, p. 639-650.

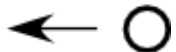
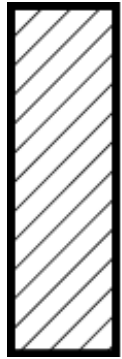
1.01アルミ球→ SiC-fiber/アルミ 複合材料,
4.31km/s



H. Tamura et al.: Int. J. Impact Engineering, 2011, p. 686-696.

Penetration of Thick Targets (1 of 2)

Thick targets



Projectile

Cratering



Projectile fragments

Ejecta

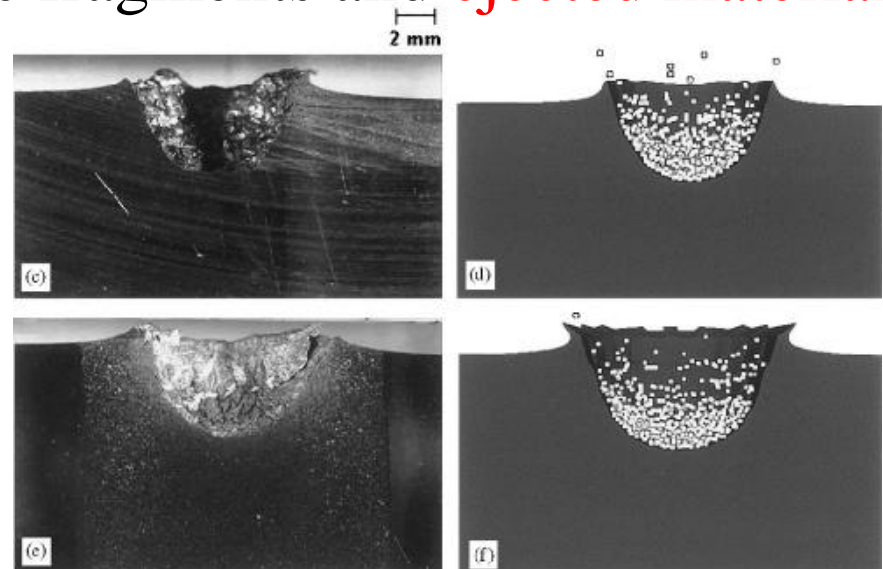
Secondary debris
in LEO

Composition of **ejecta**



Numata, Kikuchi, Sun, Kaiho, Takayama, Proc JSSW, (2006), pp. 221-222.

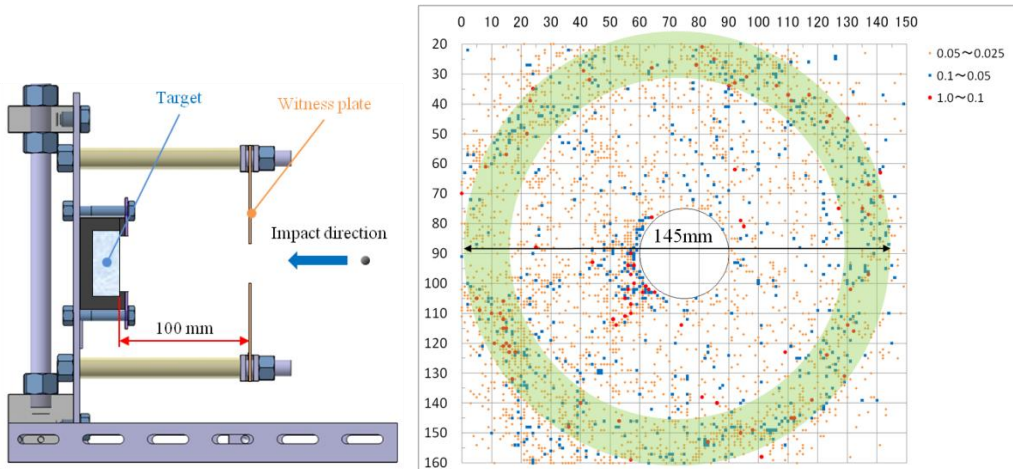
Projectile fragments and **ejected materials**



Murr, Int. J Impact Eng., (2006), pp. 1981-1999.

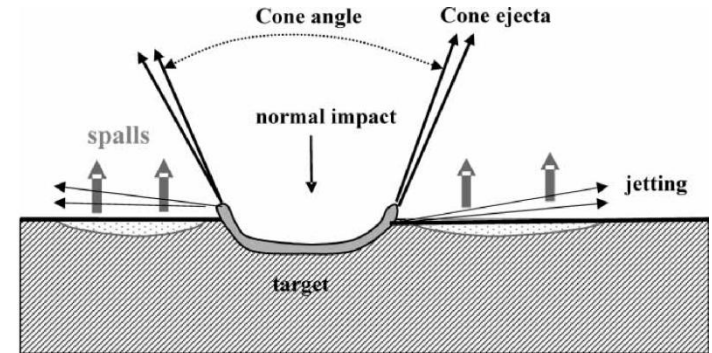
Penetration of Thick Targets (2 of 2)

Distribution chart of impact craters



Sugawara, K *et al.*, 60th International Astronautical Congress, IAC-09-A6.3.06, Daejeon, 2009.

Ejecta production mechanism on a brittle target



Siguier, J.M. & Mandeville, J.C., Proc. IMechE, 221, G, pp. 969-974, 2007.

Draft ISO (ISO/TC20/SC14/CD11227)

International standardization (ISO/DIS11227 "Space Systems – Test procedures to evaluate spacecraft material ejecta upon hypervelocity impact")

Important factors

- Impact velocity (Nishida et al., Proc. ICHSIP-29, 2011)
- Impact angle (Nishida et al., DYMAT, 2012)
- Material properties of projectiles (Nishida et al., 6th ISEM 2011)
- Material properties of targets
- **Temperature** (Nishida et al., Int. J. Impact Engng. 2012, Thermec 2011)

Objectives of Our Research

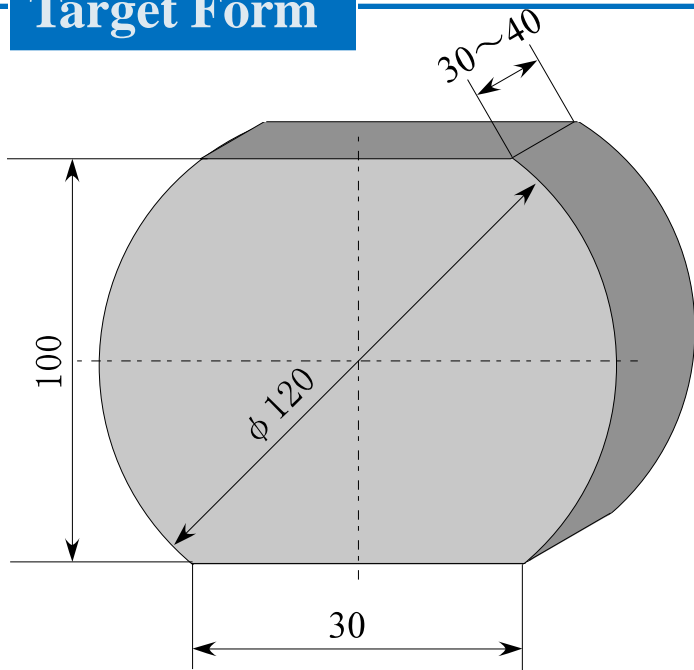
To investigate effects of **temperature** on
crater size & ejecta

Long Term Goal of Our Research

- Understanding **ejecta composition** and **mechanisms of ejecta** when projectiles strike thick targets at very high velocities
- Obtaining basic data for **new orbital debris models**

Test Chamber

Target Form



Aluminum alloy 6061-T6

Projectile

A2017-T4 , Spherical

Size : $\phi 14.2$ mm

Mass : 4.17 g

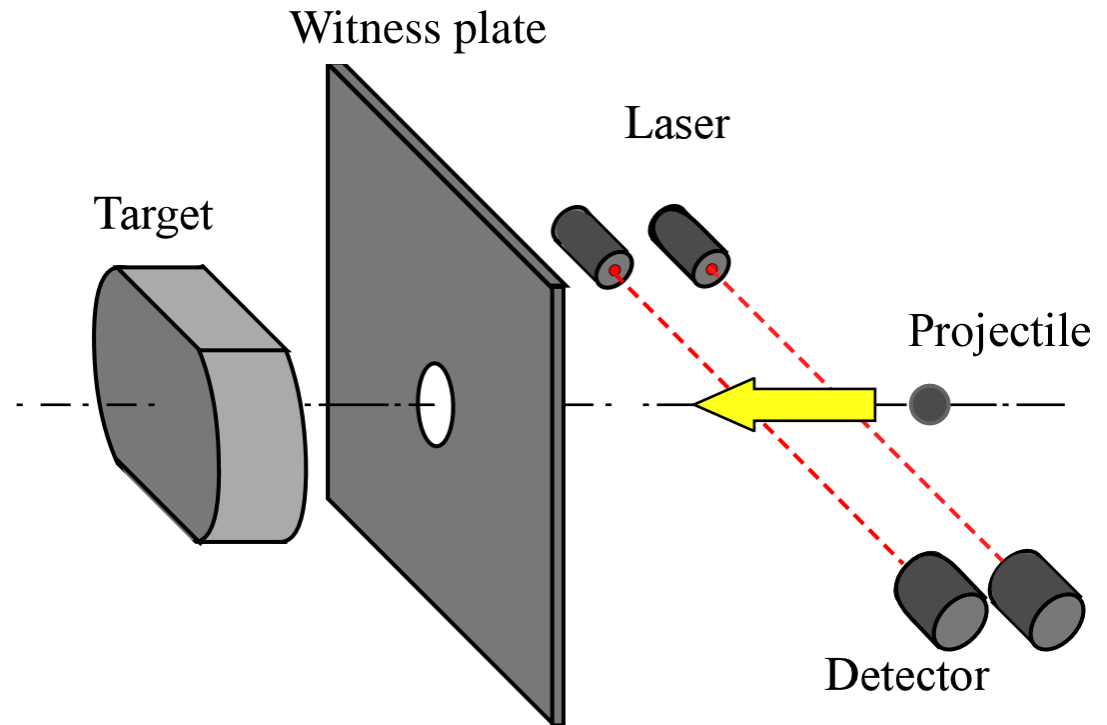


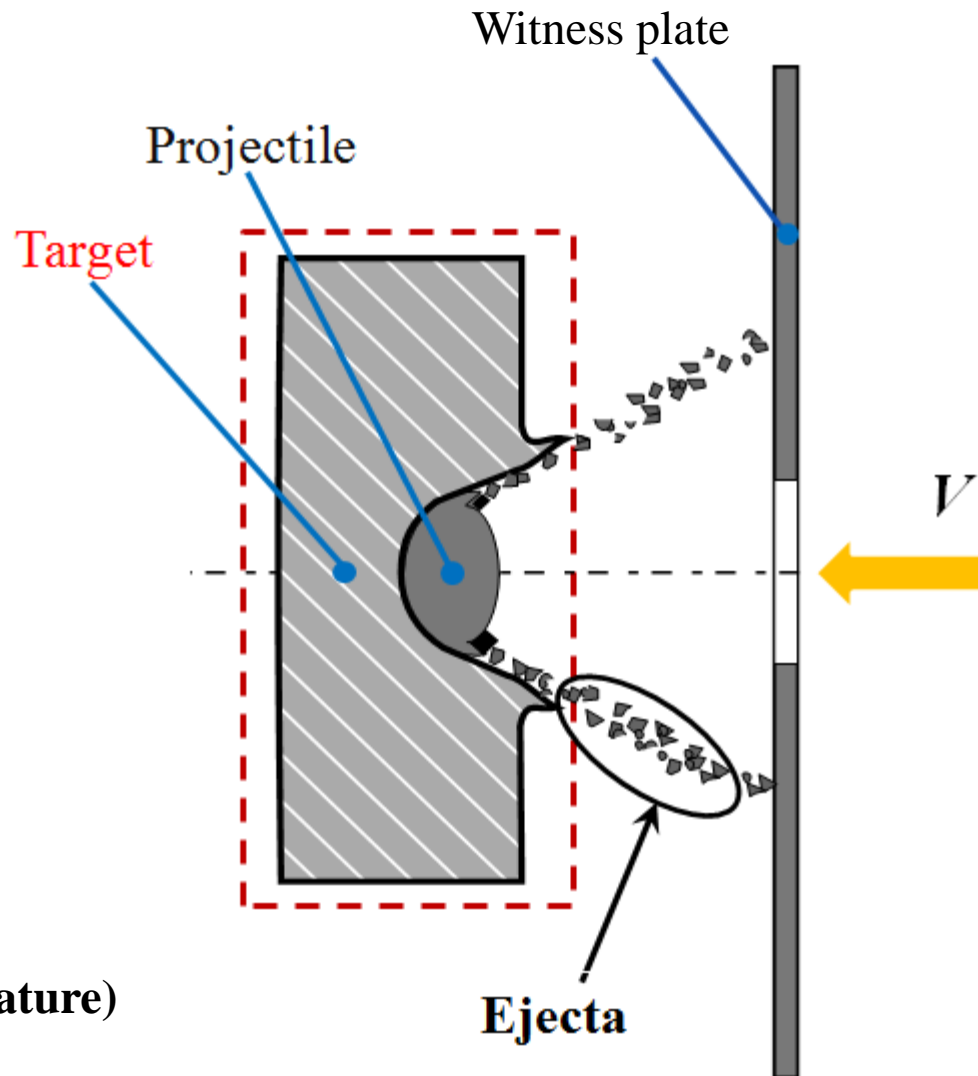
Table 1 Material properties of aluminum alloy 6061-T6

Temperature [°C]	+205	+25	-196
Elastic modulus [GPa]	77	70	63
Tensile strength [MPa]	<u>130</u>	310	415
Yield stress [MPa]	<u>105</u>	275	325
Elongation at break [%]	<u>28</u>	<u>17</u>	<u>22</u>
Temperature [°C]	+200	+25	-150
Vickers hardness	<u>100</u>	110	128

Composition Crater & Ejecta



After the impact
(2.59 km/s Room Temperature)

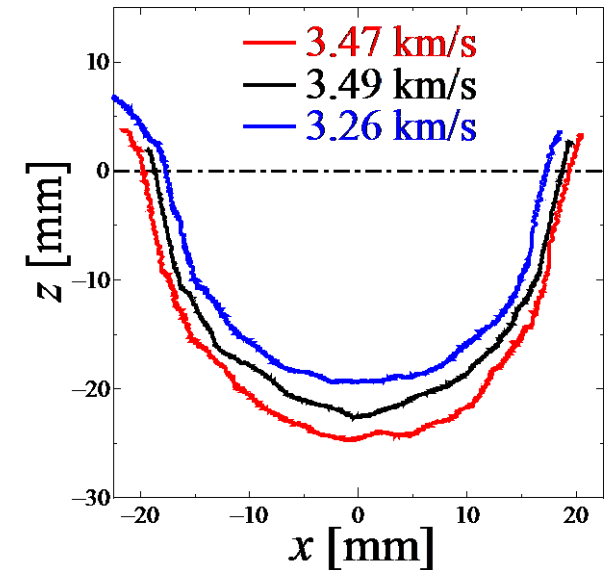
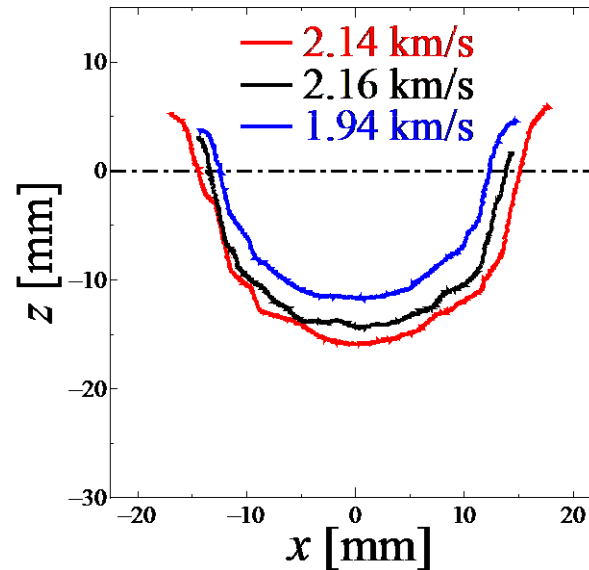
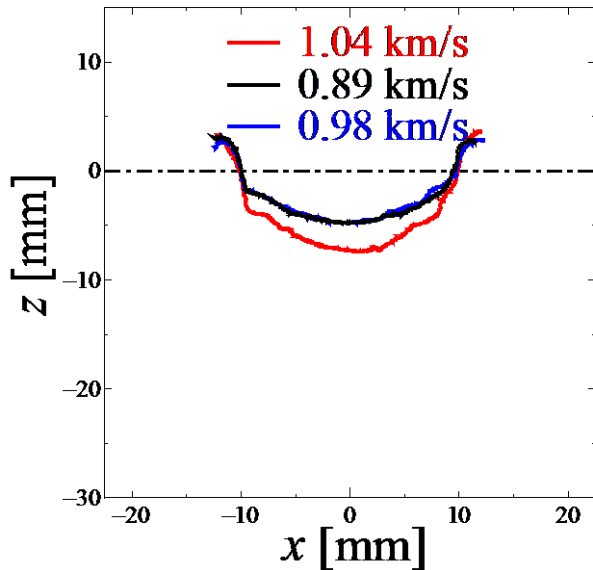


Crater Shape



Outline measurement device

- High Temp.
- Room Temp.
- Low Temp.



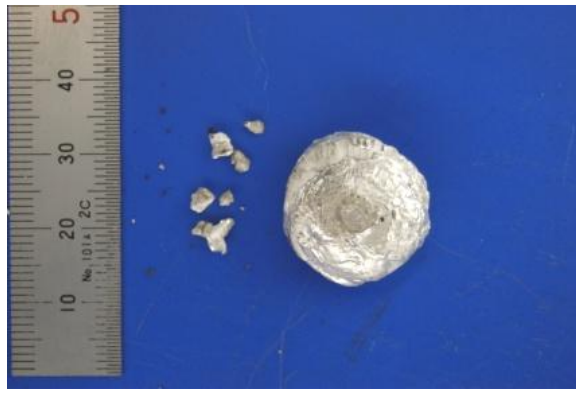
Projectile Fragmentation

High Temp.

Room Temp.

Low Temp.

1.0 km/s



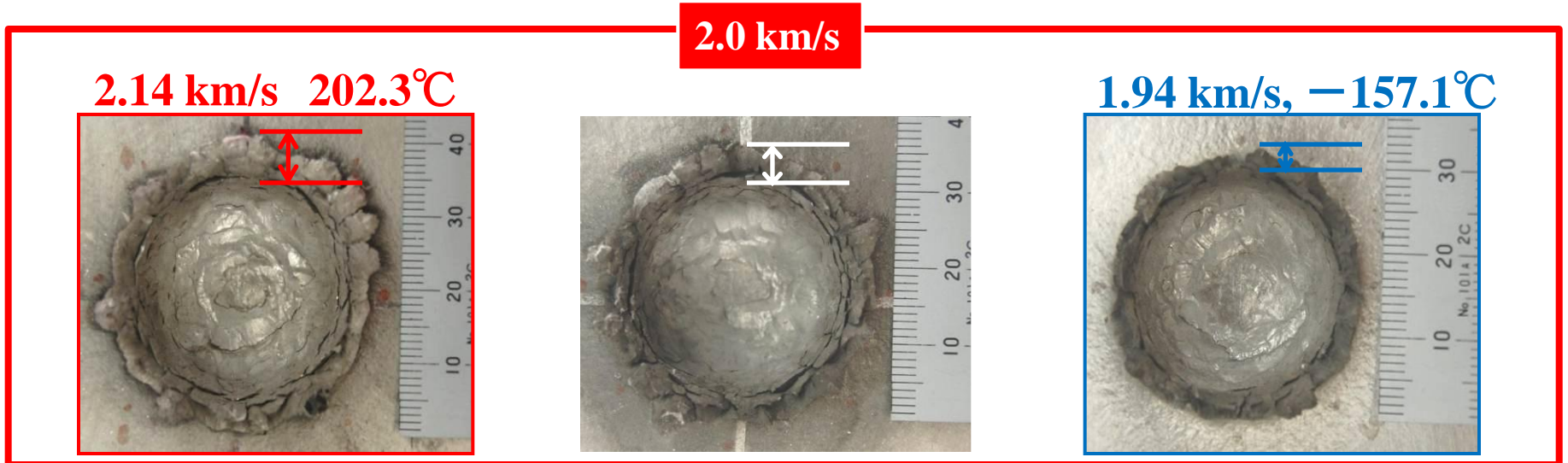
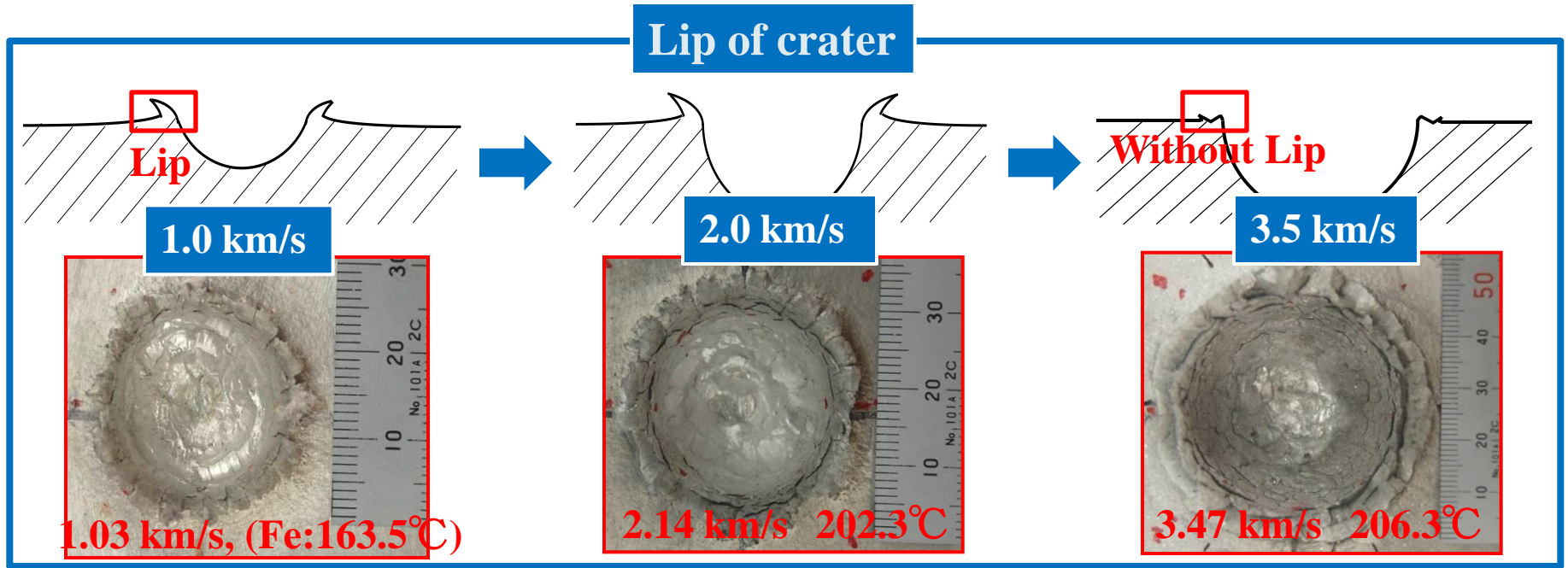
1.5 km/s



2.0 km/s

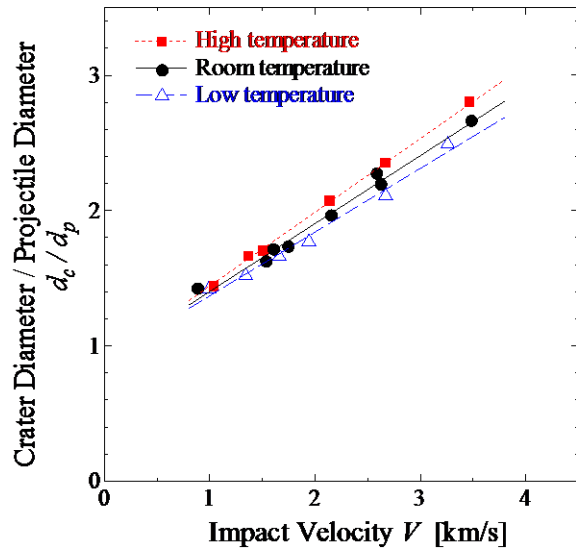


Lip Formation



Crater Shape

Crater diameter



High Temp.

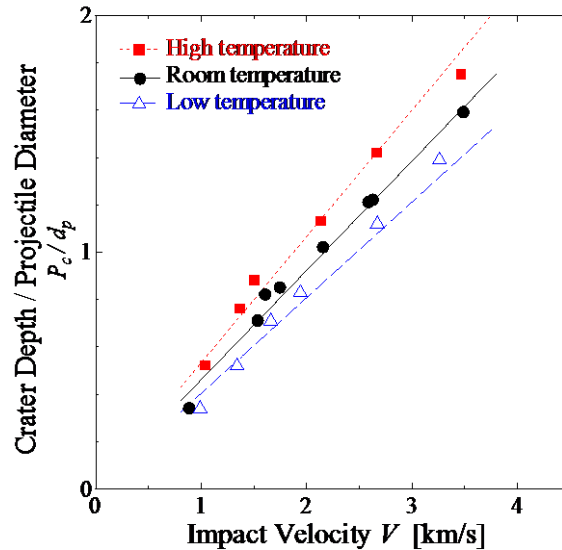
↑ 6%↑

Room Temp.

↓ 4%↓

Low Temp.

Crater depth



High Temp.

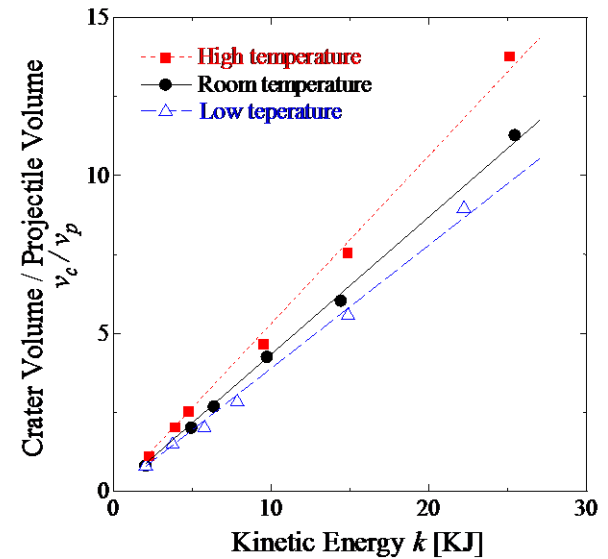
↑ 15%↑

Room Temp.

↓ 13%↓

Low Temp.

Crater volume



High Temp.

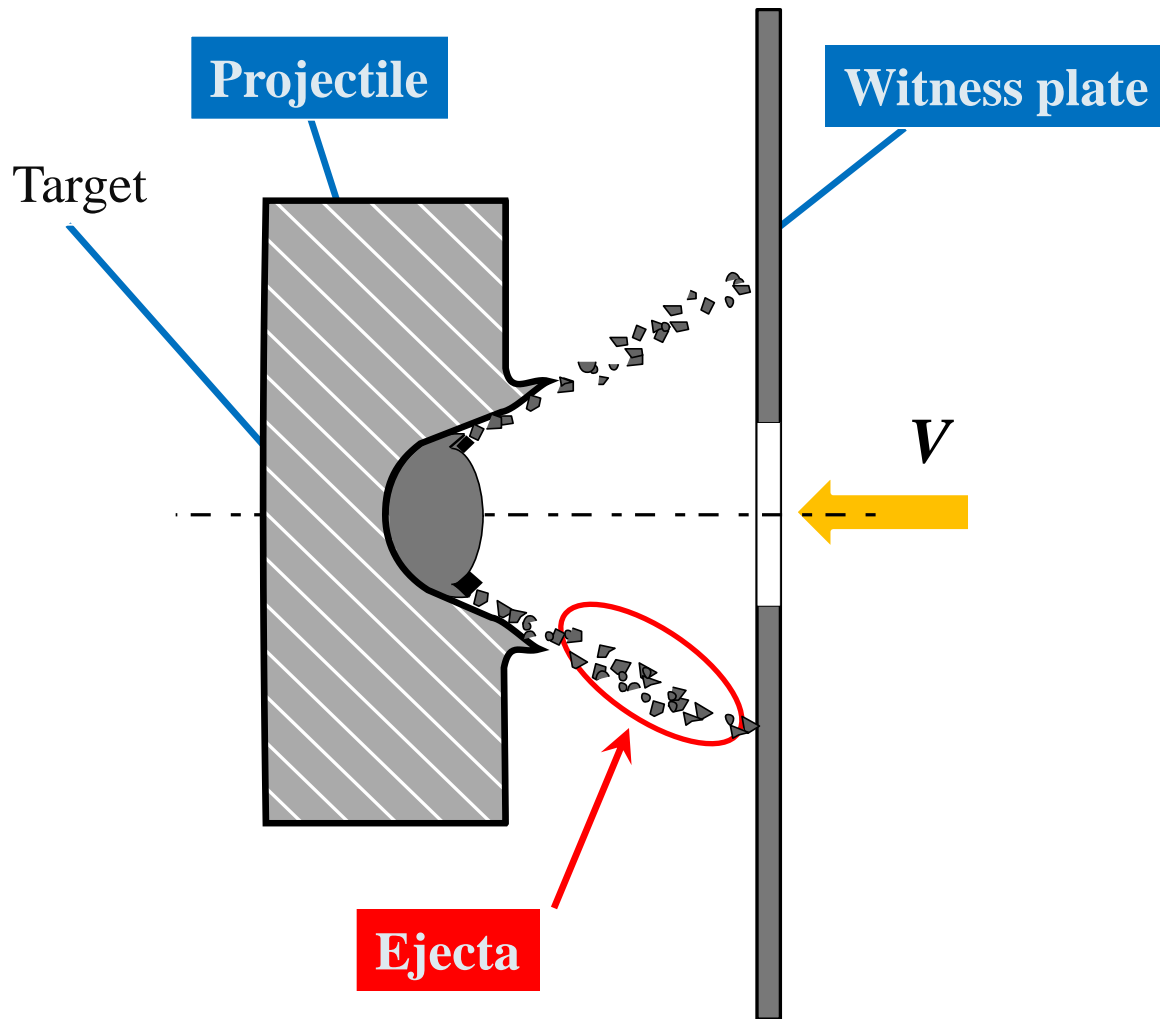
↑ 22%↑

Room Temp.

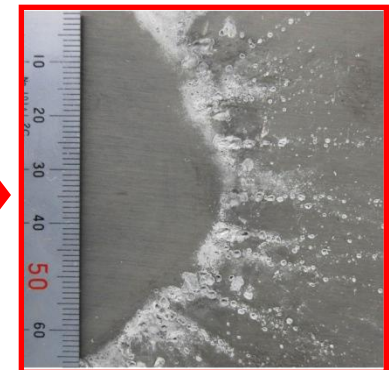
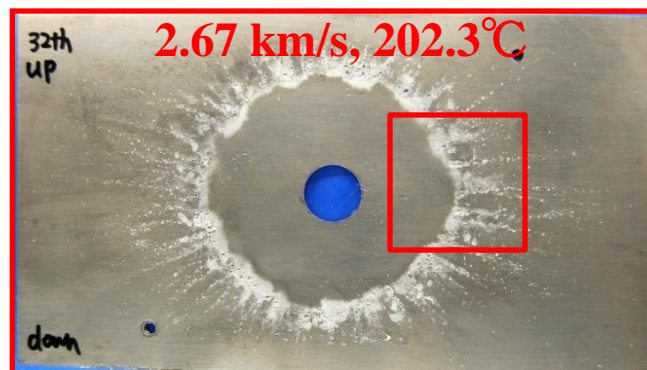
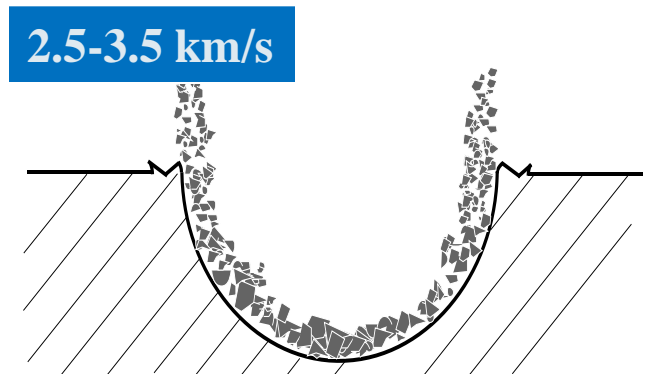
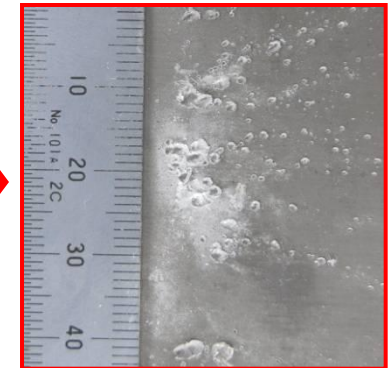
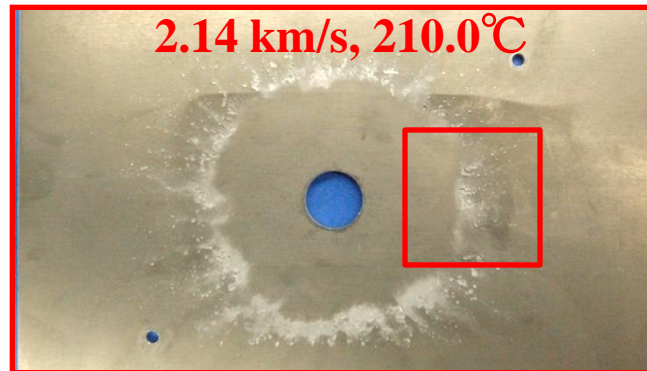
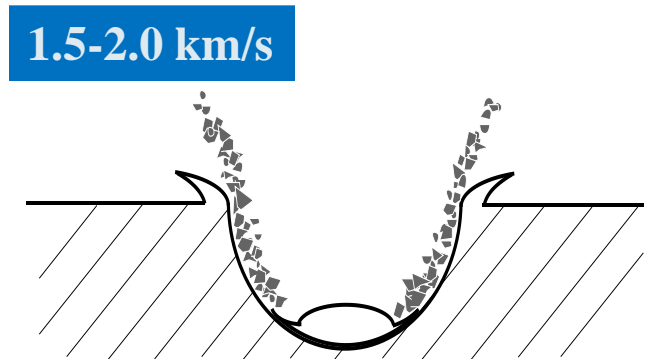
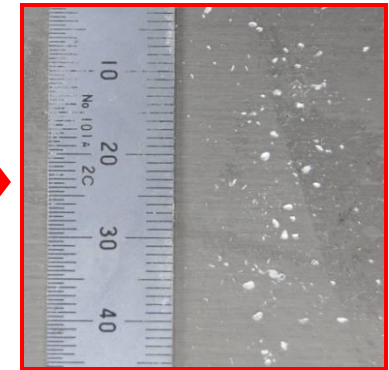
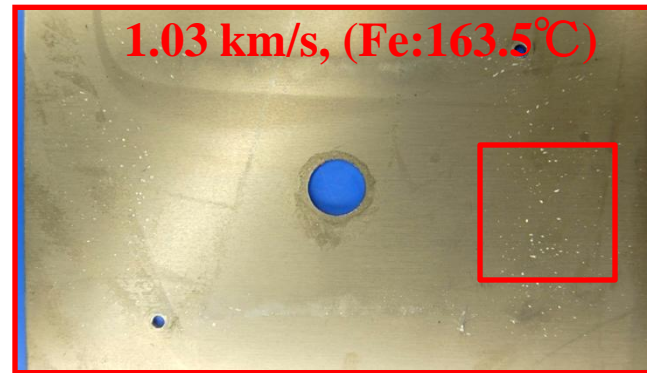
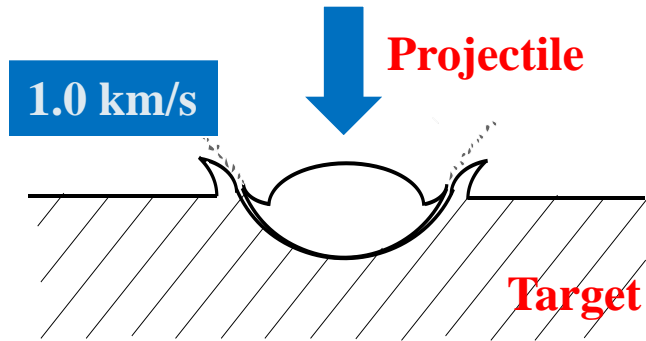
↓ 10%↓

Low Temp.

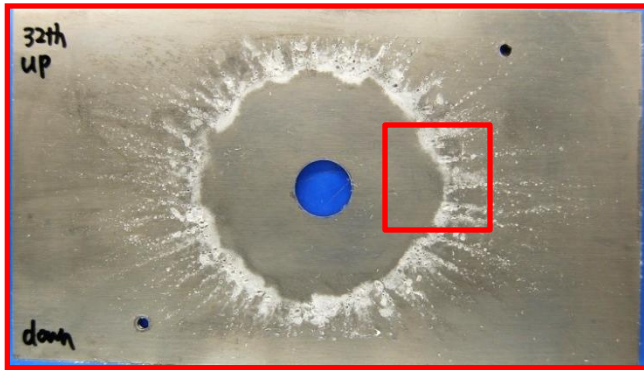
Ejecta & Witness Plate



Composition of Ejecta (1/2)

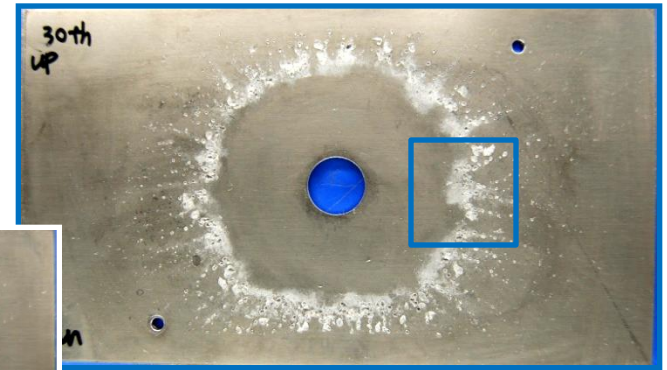
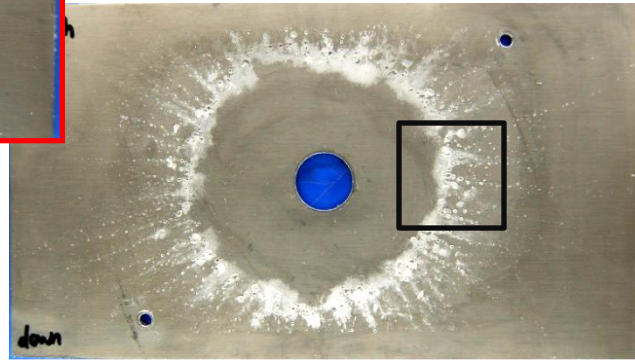


Composition of Ejecta (2/2)

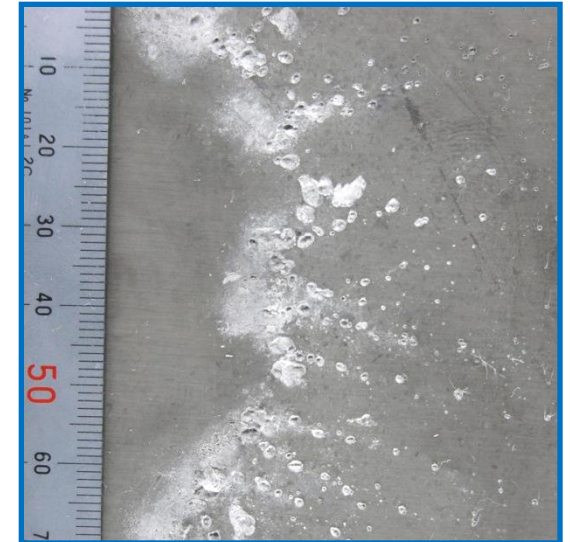
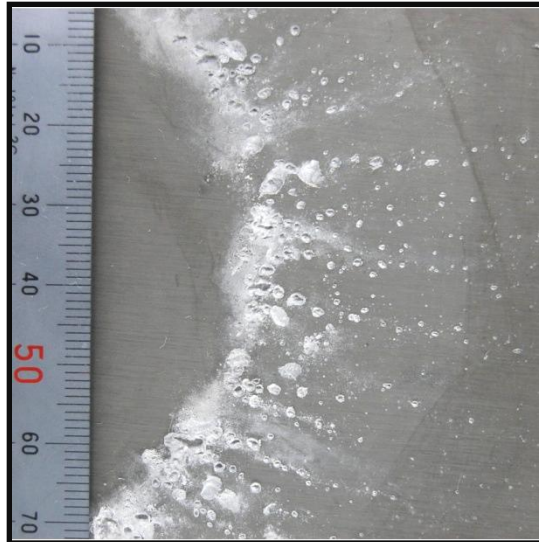
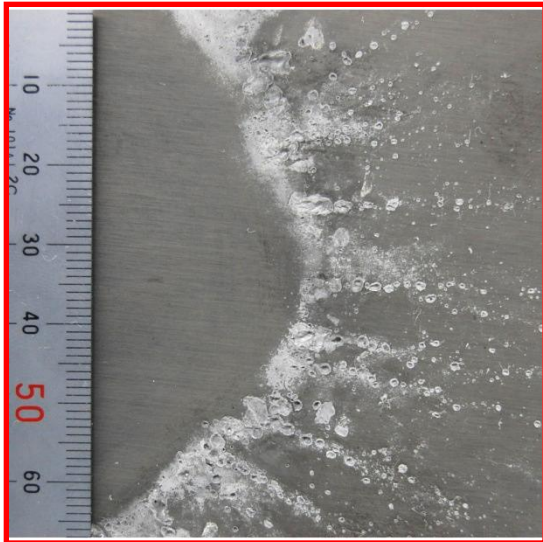


2.67 km/s, 197.0 °C

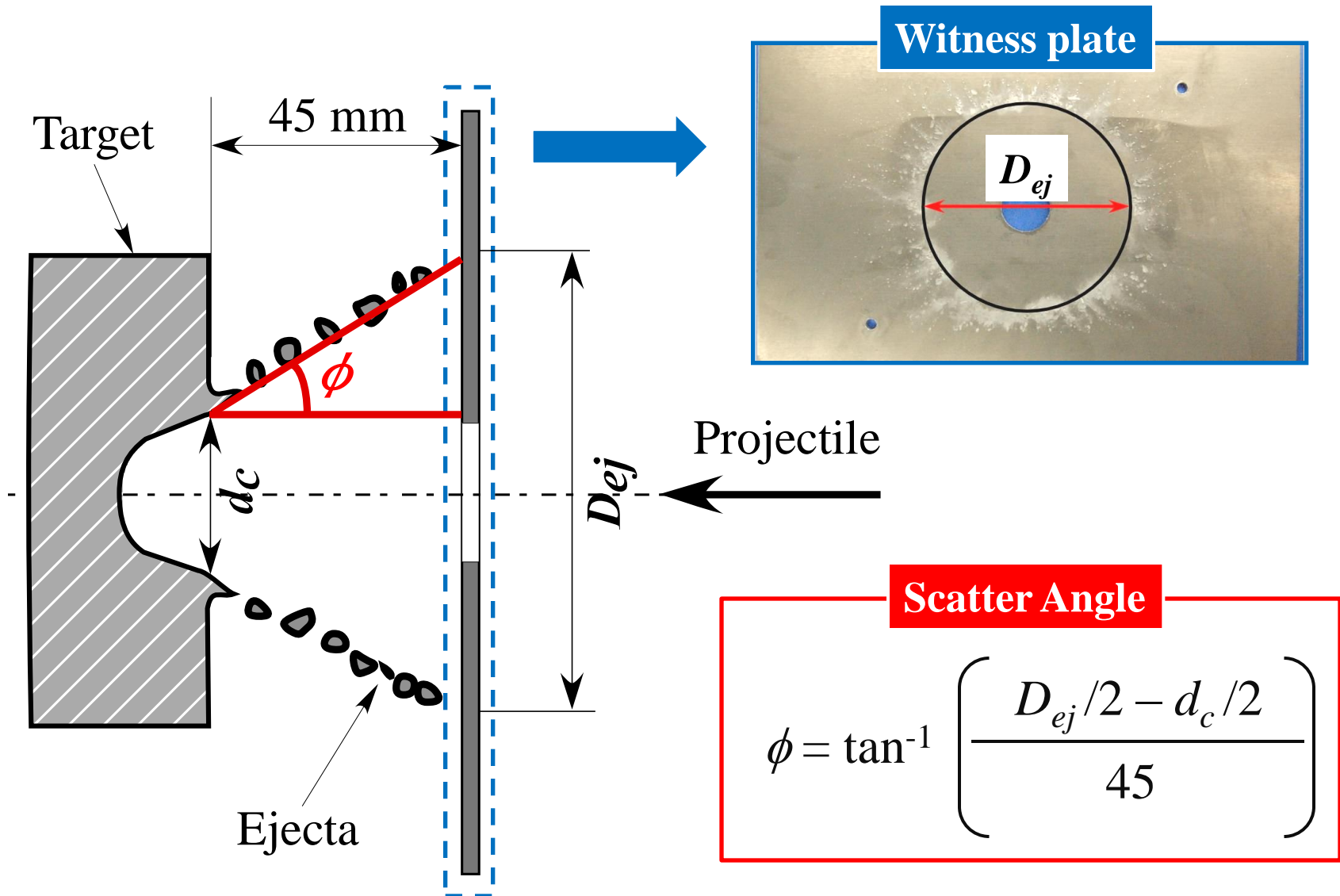
2.63 km/s, 16.0 °C



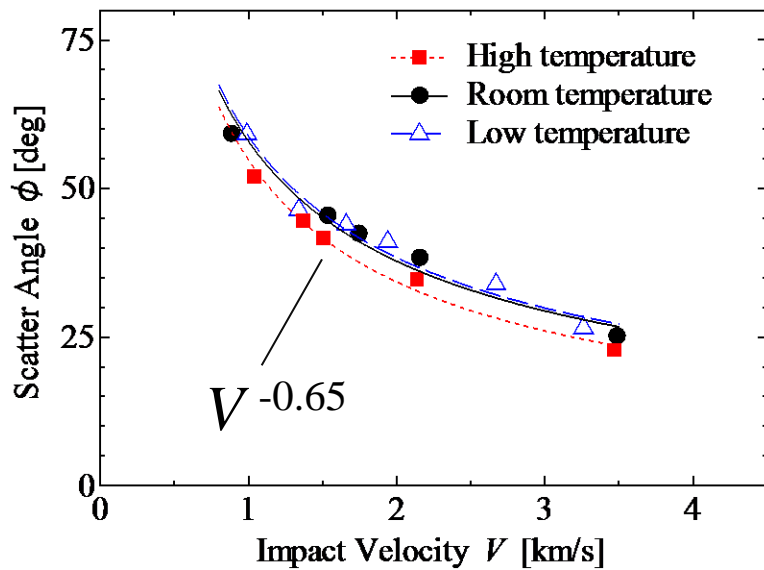
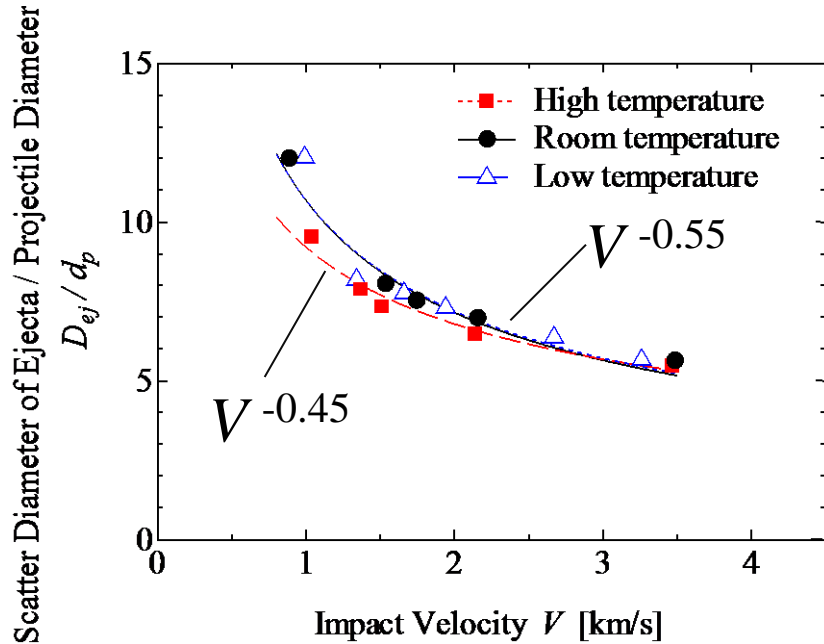
2.67 km/s, -157.3 °C



Witness Plate



Scatter Angle vs Impact Velocity



Low Temp.

9.2% ↓

High Temp.

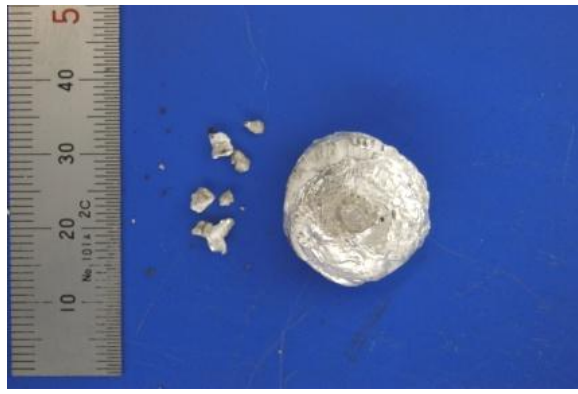
Projectile Fragmentation

High Temp.

Room Temp.

Low Temp.

1.0 km/s



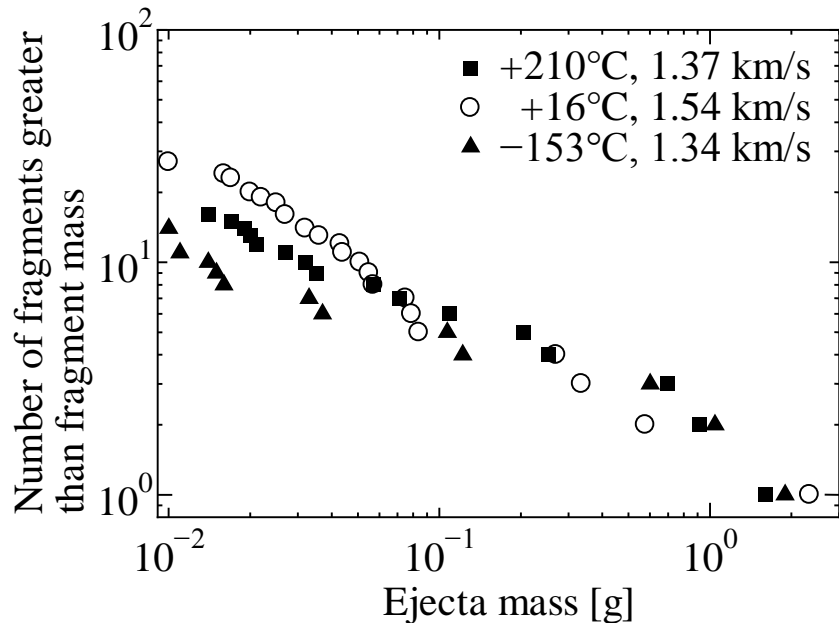
1.5 km/s



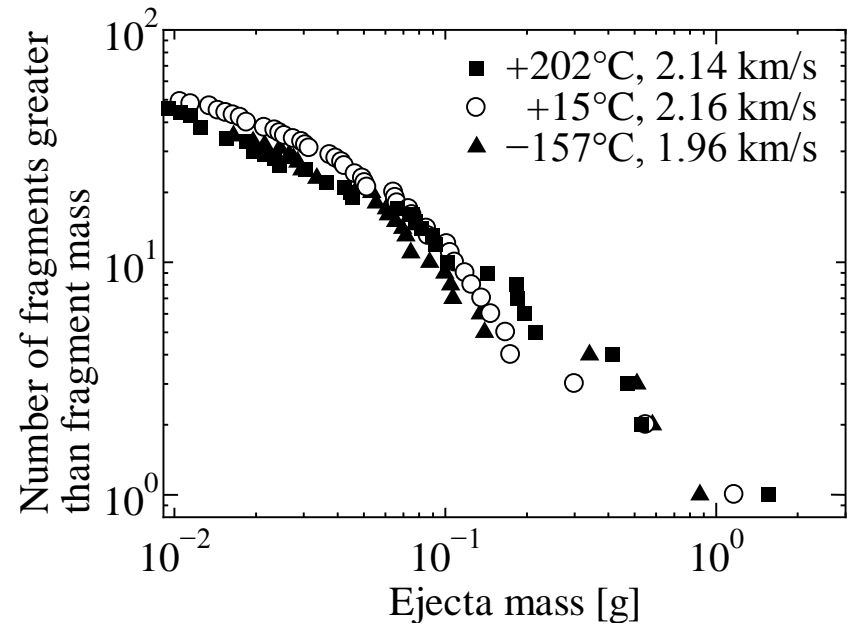
2.0 km/s



Mass Distribution

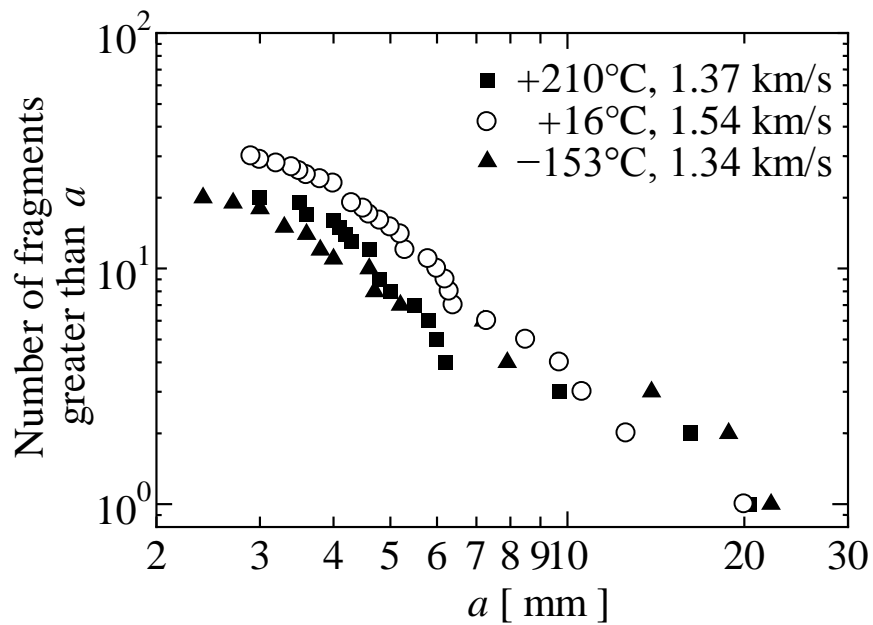
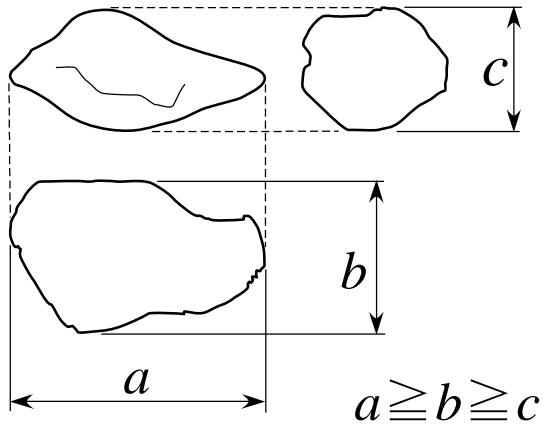


(a) 1.5 km/s

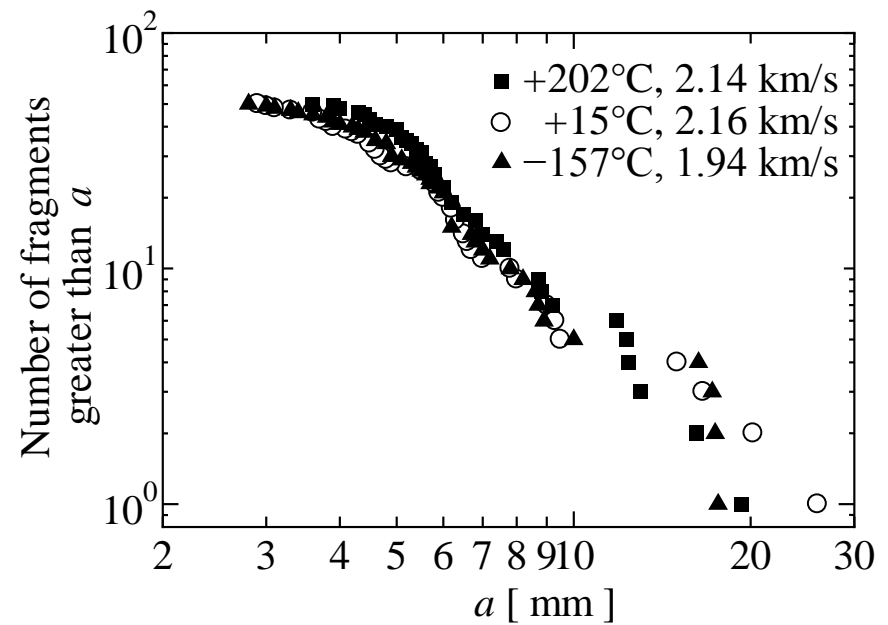


(b) 2 km/s

Size Distribution, a

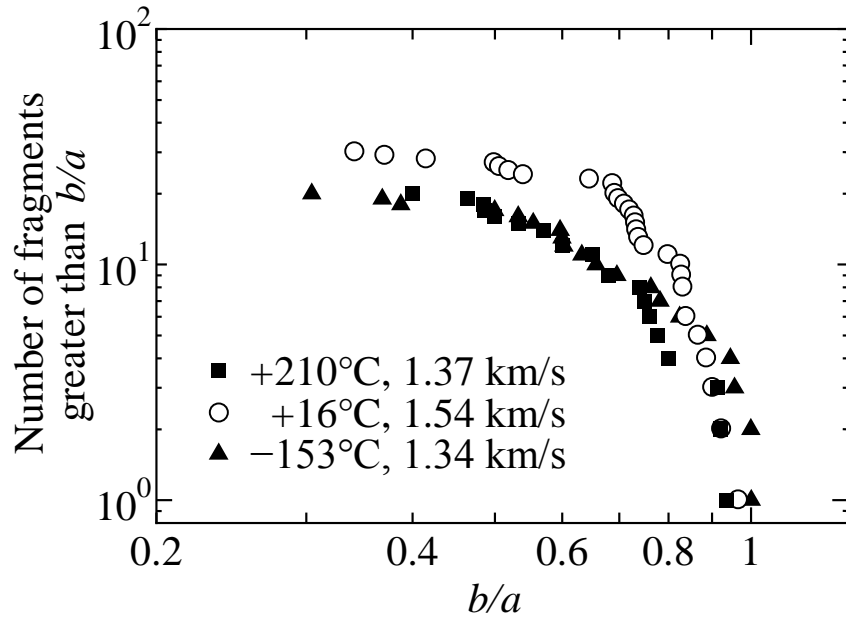


(a) 1.5 km/s

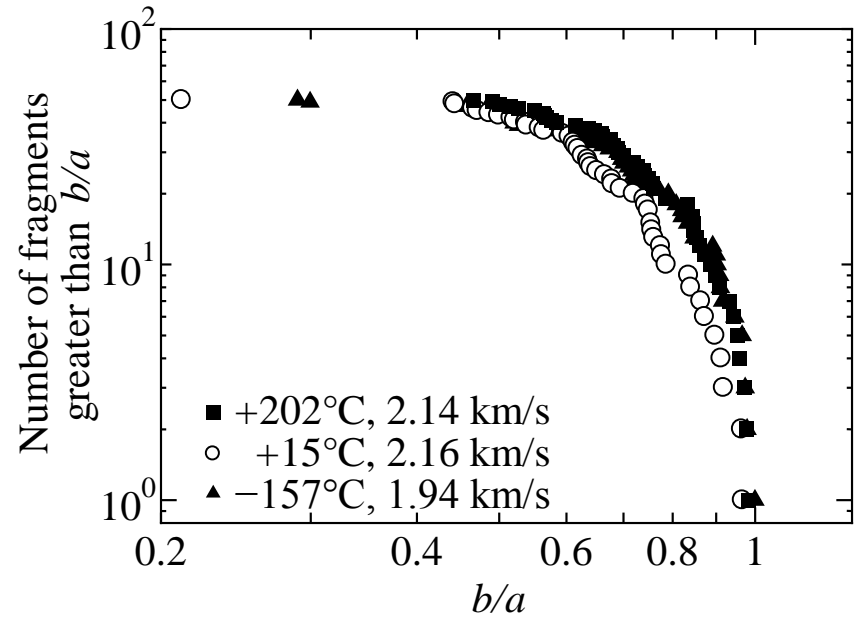


(b) 2 km/s

Axial Ratio of Ejecta Fragments, b/a

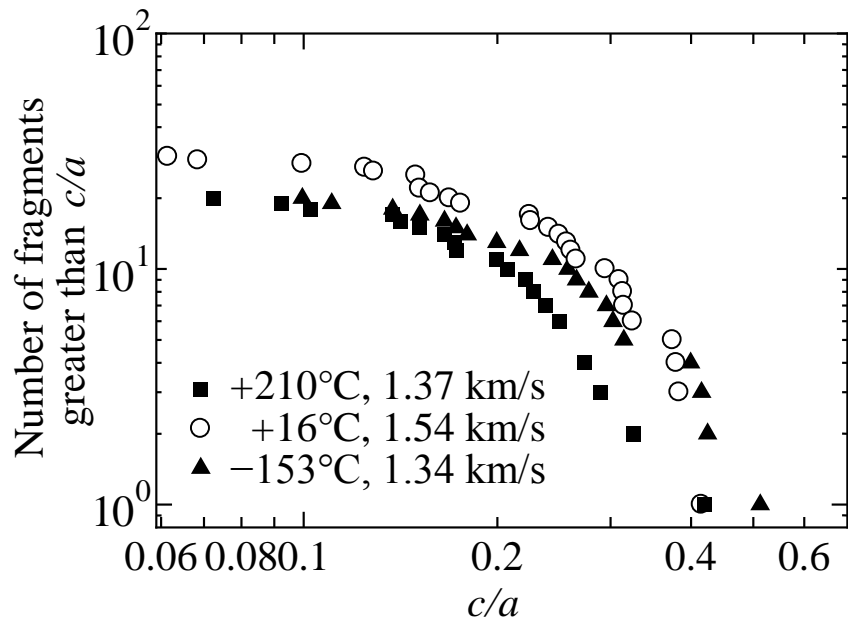


(a) 1.5 km/s

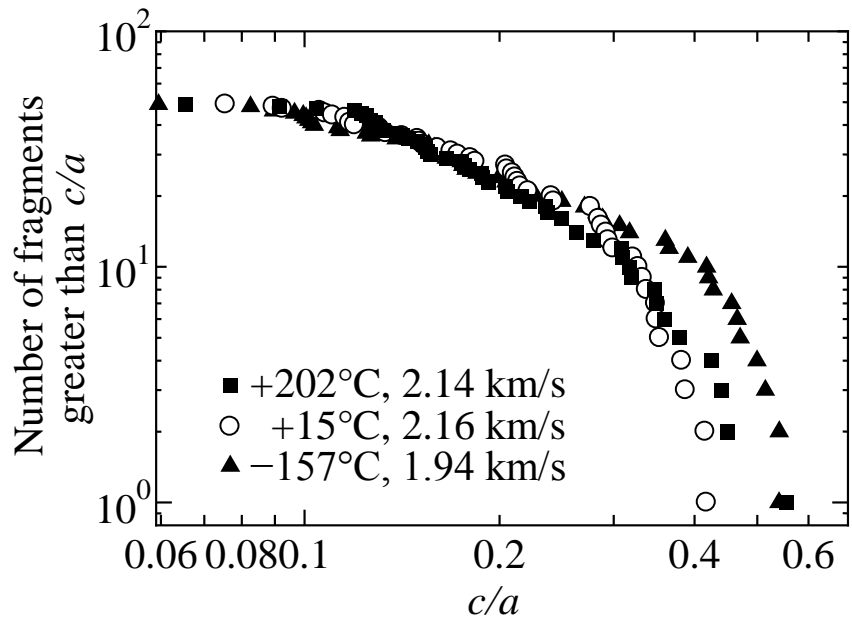


(b) 2 km/s

Axial Ratio of Ejecta Fragments, c/a



(a) 1.5 km/s



(b) 2 km/s

Table 1 Material properties of aluminum alloy 6061-T6

Temperature [°C]	+205	+25	-196
Elastic modulus [GPa]	77	70	63
Tensile strength [MPa]	<u>130</u>	310	415
Yield stress [MPa]	<u>105</u>	275	325
Elongation at break [%]	<u>28</u>	<u>17</u>	<u>22</u>
Temperature [°C]	+200	+25	-150
Vickers hardness	<u>100</u>	110	128

Conclusions

1. Crater Formation

Temperature	High [%]	Room	Low [%]
Crater diameter	8.4 ↑	1	6.4 ↓
Crater depth	15.5 ↑	1	12.5 ↓
Crater volume	22.3 ↑	1	10.3 ↓

2. Scatter of Ejecta

Scatter Angle : **High Temp.** > Room Temp. = **Low Temp.**

Inspective Plate : Influence of Temperature did not appear

3. Projectile Fragmentation

Range From 1.0-1.5 km/s

Fragment Size : **High Temp.** = Room Temp. = **Low Temp.**

Range From 2.0-2.5 km/s

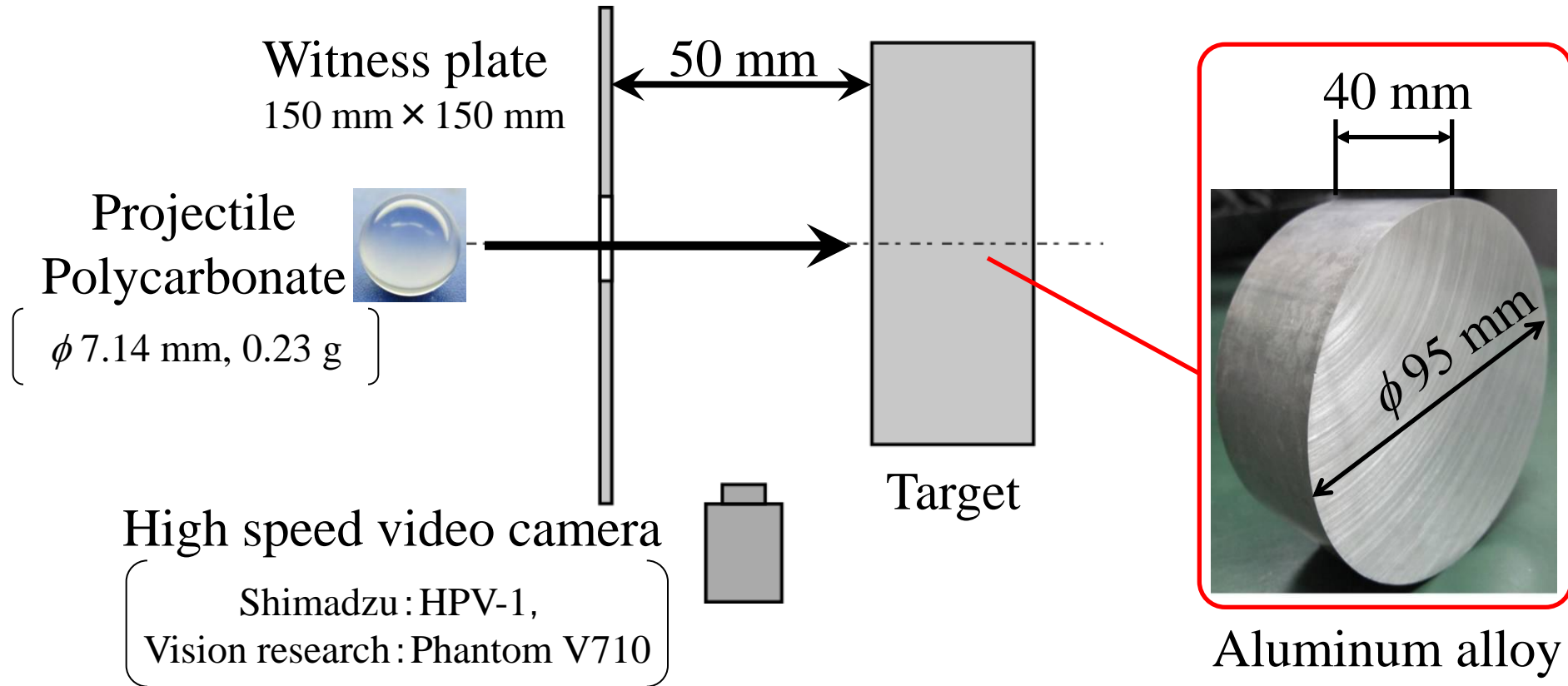
Fragment Size : **High Temp.** = Room Temp. > **Low Temp.**

ターゲットの**材質**がクレータ形成および エジェクタ構成に与える影響

(第54回宇宙科学技術連合講演会2010)

(高速度イメージングとフォトニクスに関する総合シンポジウム2011)

Experimental Setup

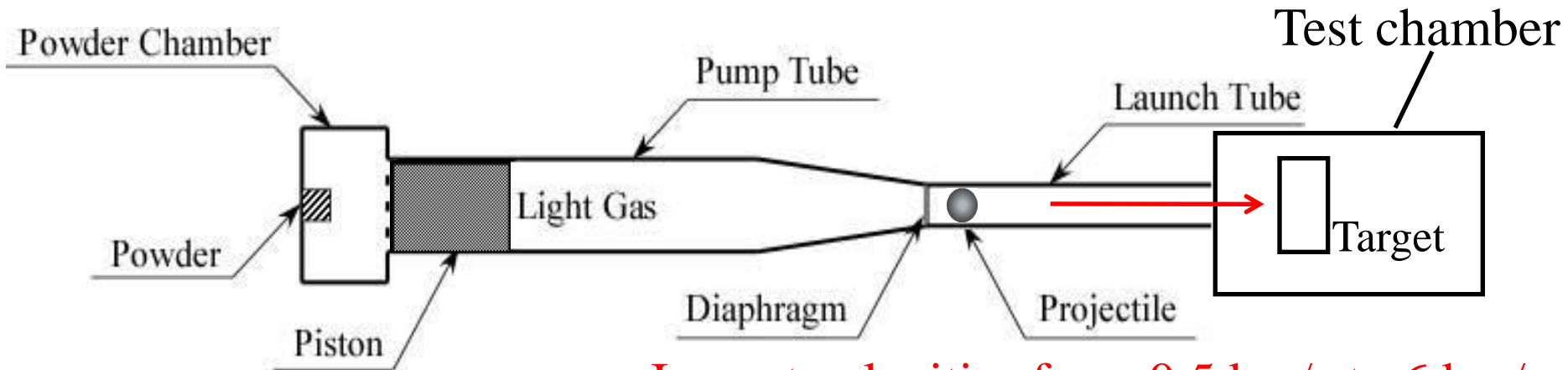


	A1100-O	A1100-H	A6061-O	A6061-T6
Tensile strength [MPa]	80	84	124	322
Yield stress [MPa]	42	48	61	287
Vickers hardness	24	35	38	110
Elongation [%]	60	46	30	9

Two-Stage Light-Gas Gun



(ISAS, JAXA)

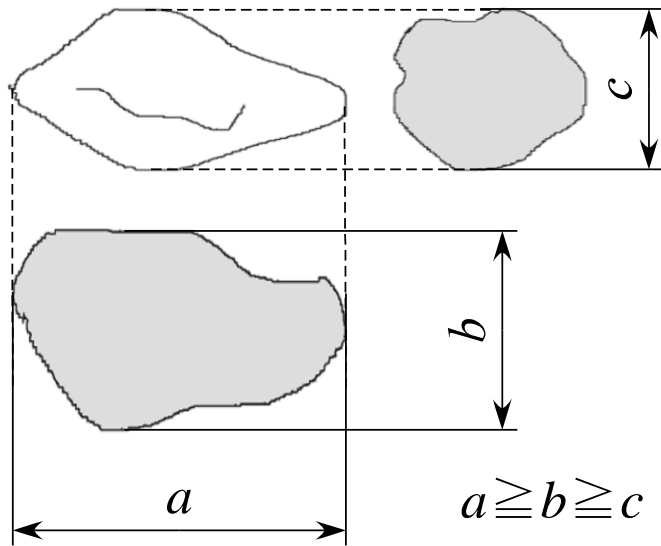


Impact velocities from 0.5 km/s to 6 km/s

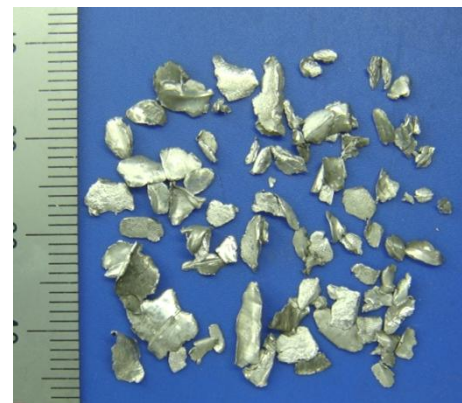
Definition of Ejecta

Measure **weight distribution** & **size distribution** of ejecta collected from chambers after experiments.

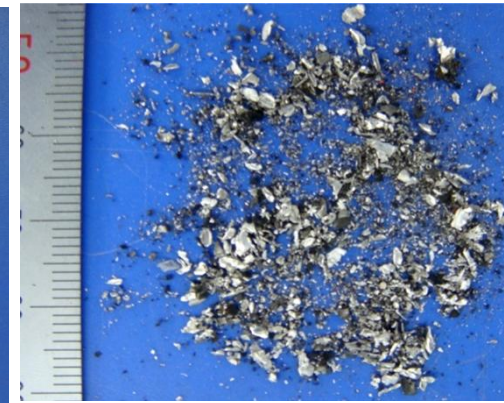
Fragment three dimensions



Ejecta mass ≥ 1 mg
Target origin



Over 1 mg



Under 1 mg

Summary

- アルミニウム合金の合金種および熱処理によってクレータのリップ形状は異なった。回収されたエジェクタの外観は、それに対応した。
- エジェクタの質量，最大長さ，縦横比は，ターゲットの硬さ(降伏応力)および破断伸びに従い，変化した。



- NASAの破砕モデル
- Grady - Kipp動的破砕モデル

Important factors

- Temperature (Nishida et al., Int. J. Impact Engng. 2012)
(Proc Thermec 2011)
- Impact velocity (Nishida et al., Proc. ICHSIP-29, 2011)
- Impact angle
(日本機械学会 M&M2011材料力学カンファレンス2011)
(第48回日本航空宇宙学会関西・中部支部合同秋期大会2011)
- Material properties of projectiles (Nishida et al., 6th ISEM 2011)
- Material properties of targets
(第54回宇宙科学技術連合講演会2010)
(高速度イメージングとフォトンクスに関する総合シンポジウム2011)

Acknowledgments

This work was supported by the Space Plasma Laboratory, ISAS, JAXA.



The authors are greatly indebted to Mr. Nobuie Konishi of Nobby Tech. Ltd. for his help with taking images using high speed cameras.



This work was supported in part by a Grant-in-Aid for Scientific Research (C), KAKENHI (22560078), from the Japan Society for the Promotion of Science (JSPS), and the Nitto Foundation.

